

# $\alpha$ 方法在非完整力学系统数值积分中的应用\*

马秀腾 陈立平 张云清

(华中科技大学 CAD 中心, 武汉 430074)

**摘要** 将源于直接积分方法的广义  $-\alpha$  法和  $\alpha$ -RATTLE 法应用到非完整力学系统动力学方程数值积分中, 直接求解指标  $-2$  的微分-代数方程 (DAEs), 这两种方法的质量矩阵可以是常量, 也可以与广义坐标相关. 最后, 文中通过一个非完整力学系统: Snakeboard 模型, 对这两种方法进行了验证, 并且与 DASSL 算法包的结果进行了比较.

**关键词** 非完整约束, 微分-代数方程 (DAEs), 广义  $-\alpha$  法,  $\alpha$ -RATTLE 法

## 引言

力学系统所受的约束一般可分为完整约束和非完整约束. 完整约束是指几何约束和可积分的微分约束; 非完整约束是指不可积分的微分约束<sup>[1,2]</sup>. 带有非完整约束的力学系统称为非完整力学系统. 非完整力学在机器人领域, 特别是机器人运动和机器人抓取中有重要的应用<sup>[1,3,4]</sup>.

受约束的力学系统动力学模型一般可用微分-代数方程 (DAEs) 来描述, 如果系统仅仅受完整约束, 则其动力学模型的方程可表示为指标  $-3$  的 DAEs<sup>[5]</sup>. 如果系统仅仅受非完整约束, 则其动力学模型的方程可表示为指标  $-2$  的 DAEs; 如果系统既受完整约束, 又受非完整约束, 则可表示为指标  $-3$  的 DAEs<sup>[3]</sup>. 从 1980 年代以来 DAEs 的数值积分算法一直是研究的热点<sup>[5,6]</sup>, 也是计算多体系统动力学研究的主要内容之一<sup>[7]</sup>.

自 1959 年 Newmark 方法<sup>[8]</sup> 提出以来, 直接积分方法在结构动力学数值积分中有着广泛的应用<sup>[9]</sup>. 直接积分法还包括 Newmark 方法推广得到的广义  $-\alpha$  法、Wilson- $\theta$  法、WBZ- $\alpha$  和 HHT- $\alpha$  法等<sup>[10]</sup>. 结构动力学中, 其求解的主要是不带约束的运动学方程, 一般情况是二阶常微分方程 (ODEs) 的数值解, 这些方法的研究已经比较透彻.

Geradin 和 Cardona<sup>[11]</sup> 首先将直接积分方法中的 Newmark 方法和 HHT- $\alpha$  方法推广到数值求解受完整约束力学系统动力学方程, 也就是求解指标

$-3$  的 DAEs. 最近, Lunk 和 Simeon<sup>[12]</sup> 将广义  $-\alpha$  方法的数值求解对象推广到带完整约束的力学系统, 提出了  $\alpha$ -RATTLE 方法<sup>[12]</sup>, 其求解的是降指标的受完整约束的力学系统的动力学方程 (指标  $-2$ ), 但此方法要求动力学方程的质量矩阵是常量; Jay 和 Negrut<sup>[13]</sup> 将 HHT- $\alpha$  方法的数值求解对象推广到约束力学系统, 包括降指标的带完整约束的力学系统动力学方程 (指标  $-2$ ) 和仅受非完整约束的非完整力学系统的动力学方程 (指标  $-2$ ).

本文首先将广义  $-\alpha$  法应用到非完整约束力学系统, 直接求解指标  $-2$  的 DAEs. 其次, 参考 HHT- $\alpha$  方法在非完整力学系统数值积分中的应用, 将  $\alpha$ -RATTLE 法应用到非完整约束力学系统, 求解指标  $-2$  的 DAEs, 这两种方法的质量矩阵可以是常量, 也可以与广义坐标相关, 推广了  $\alpha$  方法的应用范围.

最后, 文中将这两种算法的结果与经典的 DAEs 数值求解算法包 DASSL<sup>[5]</sup> 的结果进行了比较. DASSL 求解的是用哑导方法<sup>[14]</sup> 降指标的仅受非完整约束的非完整力学系统动力学方程 (指标  $-1$ ).

## 1 问题描述

本文研究仅受非完整约束, 而不受纯完整约束的非完整力学系统. 从 DAEs 的角度描述这类非完整力学系统, 其动力学方程可以表示为<sup>[4]</sup>:

$$M(q)\ddot{q} + \Psi_q^T(\dot{q}, q, t)\lambda = f(\dot{q}, q, t) \quad \Psi(\dot{q}, q, t) = 0$$

此方程是具有指标 -2 的 DAEs<sup>[3,5]</sup>. 在经典力学领域, 所研究的非完整约束主要是形如  $\Phi(q, t)\dot{q} = 0$  的形式, 也就是说非完整约束  $\Psi(\dot{q}, q, t)$  可以表示成  $\dot{q}$  的线性组合<sup>[15]</sup>, 动力学方程为

$$M(q)\ddot{q} + \Phi^T(q, t)\lambda = f(\dot{q}, q, t) \quad \Phi(q, t)\dot{q} = 0$$

这也是本文研究的非完整系统的数学模型.

## 2 广义 - $\alpha$ 方法

分别令,

$$\begin{aligned} f_{n+1} &:= f(\dot{q}_{n+1}, q_{n+1}, t_{n+1}), M_{n+1} := M(q_{n+1}) \\ F &:= f(\dot{q}, q, t) - \Phi^T(q, t)\lambda, M_n := M(q_n) \\ F_{n+1} &:= F(\dot{q}_{n+1}, q_{n+1}, \lambda_{n+1}, t_{n+1}) \\ F_{n+1} &:= f_{n+1} - \Phi^T(q_{n+1}, t_{n+1})\lambda_{n+1} \end{aligned}$$

由广义- $\alpha$  方法可得, 离散的动力学方程可表示为:

$$\begin{aligned} M_{1+n}a_{1+n} + \frac{\alpha_m}{1-\alpha_m}M_n a_n &= \frac{1-\alpha_f}{1-\alpha_m}F_{n+1} + \frac{\alpha_f}{1-\alpha_m}F_n \\ 0 &= \Phi(q_{n+1}, t_{n+1})\dot{q}_{n+1} \end{aligned}$$

其中

$$\begin{aligned} q_{n+1} &= q_n + h\dot{q}_n + \frac{1}{2}h^2((1-2\beta)a_n + 2\beta a_{n+1}) \\ \dot{q}_{n+1} &= \dot{q}_n + h((1-\gamma)a_n + \gamma a_{n+1}) \end{aligned}$$

离散方程中  $a_n$  的初始值由

$$M_n a_n = (1-\alpha)F_n + \alpha F_{n+1}$$

给出<sup>[12]</sup>. 式中

$\alpha = \alpha_m - \alpha_f, \alpha_f = \rho_\infty / (1 + \rho_\infty), \alpha_m = (2\rho_\infty - 1) / (1 + \rho_\infty), \rho_\infty$  为无穷远处的谱半径,  $\rho_\infty \in [0, 1]$ .  $\alpha = (\rho_\infty - 1) / (\rho_\infty + 1), \beta = (1 - \alpha)^2 / 4, \gamma = 1 / 2 - \alpha$ . 当  $\rho_\infty = 0$  时表示高频响应将被渐近零化, 其等价于  $L$ -稳定, 此时算法的数值耗散最大; 当  $\rho_\infty = 1$  时表示算法无数值耗散<sup>[12,16]</sup>.

采用 Newton - Raphson 法求解离散的动力学方程, 得:

$$J \begin{pmatrix} \Delta a \\ \Delta \lambda \end{pmatrix}^{(k)} = \begin{pmatrix} -e_1 \\ -e_2 \end{pmatrix}^{(k)}$$

其中 Jacobian 矩阵  $J$  为

$$\begin{bmatrix} \tilde{M} & \frac{1-\alpha_f}{1-\alpha_m}\Phi^T \\ (\Phi\dot{q})_q\beta h^2 + \Phi\gamma h & 0 \end{bmatrix}$$

$$\tilde{M} = M + (Ma)_q\beta h^2 - \frac{1-\alpha_f}{1-\alpha_m}(F_q\beta h^2 + F_q\gamma h)$$

$$e_1 = M_{1+n}a_{1+n} + \frac{\alpha_m}{1-\alpha_m}M_n a_n -$$

$$\frac{1-\alpha_f}{1-\alpha_m}F_{n+1} - \frac{\alpha_f}{1-\alpha_m}F_n$$

$$e_2 = \Phi(q_{n+1}, t_{n+1})\dot{q}_{n+1}$$

对于质量矩阵是常数的情况,  $(Ma)_q = 0$ , 如果质量矩阵与广义坐标  $q$  相关, 计算  $(Ma)_q$  时, 可以通过近似替换

$$Ma \doteq M(q_n + h\dot{q}_n)a_{n+1}$$

来避免  $(Ma)_q$  的计算, 降低计算复杂性.

为了改善 Jacobian 矩阵的条件数, 避免矩阵奇异, 根据缩放的思想<sup>[17,18]</sup>, 将与运动约束相关的非线性方程两边同乘以  $1/h$ , 最后离散的动力学方程为:

$$\begin{aligned} M_{1+n}a_{1+n} + \frac{\alpha_m}{1-\alpha_m}M_n a_n - \frac{1-\alpha_f}{1-\alpha_m}F_{n+1} - \frac{\alpha_f}{1-\alpha_m}F_n &= 0 \\ \Phi(q_{n+1}, t_{n+1})\dot{q}_{n+1}/h &= 0 \end{aligned}$$

采用 Newton - Raphson 法求解此非线性方程组得:

$$J \begin{pmatrix} \Delta a \\ \Delta \lambda \end{pmatrix}^{(k)} = \begin{pmatrix} -e_1 \\ -e_2 \end{pmatrix}^{(k)}$$

其中 Jacobian 矩阵  $J'$  为,

$$\begin{bmatrix} \tilde{M}' & \frac{1-\alpha_f}{1-\alpha_m}\Phi^T \\ (\Phi\dot{q})_q\beta + \Phi\gamma & 0 \end{bmatrix}$$

$$\tilde{M}' = M(q_n + h\dot{q}_n) - \frac{1-\alpha_f}{1-\alpha_m}(F_q\beta h^2 + F_q\gamma h)$$

$$e_2' = \frac{1}{h}\Phi(q_{n+1}, t_{n+1})\dot{q}_{n+1}$$

## 3 $\alpha$ - RATTLE 方法

参考 HHT -  $\alpha$  方法在非完整约束系统中的应用<sup>[13]</sup>, 将  $\alpha$  - RATTLE 方法<sup>[12]</sup> 推广到数值求解非完整系统动力学方程中, 离散的动力学方程可表示为:

$$\begin{aligned} M_{1+n}a_{1+n} + \frac{\alpha_m}{1-\alpha_m}M_n a_n &= \frac{1-\alpha_f}{1-\alpha_m}f_{n+1} + \frac{\alpha_f}{1-\alpha_m}f_n \\ 0 &= \Phi(q_{n+1}, t_{n+1})\dot{q}_{n+1} \end{aligned}$$

其中

$$\begin{aligned} q_{n+1} &= q_n + h\dot{q}_n + \frac{1}{2}h^2((1-2\beta)a_n + 2\beta a_{n+1}) + \\ &\frac{1}{2}h^2 R_{1/2} \end{aligned}$$

$$\dot{q}_{n+1} = \dot{q}_n + h((1-\gamma)a_n + \gamma a_{n+1}) + hR_{1/2}$$

$$R_{1/2} = -M^{-1}(q_n + \frac{h}{2}\dot{q}_n)\Phi^T(q_n + \frac{h}{2}\dot{q}_n, t_n + \frac{h}{2})\lambda_{n+1}$$

$a_n$  的初始值的获取以及  $\alpha_m, \alpha_f, \alpha, \beta, \gamma$  的取值与广义  $-\alpha$  方法的取值完全相同. 与广义  $-\alpha$  方法类似, 此方法也可以采用缩放的思想, 将非完整约束的方程变为

$$\frac{1}{h} \Phi(q_{n+1}, t_{n+1}) \dot{q}_{n+1} = 0$$

最后离散的动力学方程可写为:

$$M_{n+1} a_{n+1} + \frac{\alpha_m}{1 - \alpha_m} M_n a_n = \frac{1 - \alpha_f}{1 - \alpha_m} f_{n+1} + \frac{\alpha_f}{1 - \alpha_m} f_n$$

$$\frac{1}{h} \Phi(q_{n+1}, t_{n+1}) \dot{q}_{n+1} = 0$$

数值求解此离散的动力学方程的过程以及质量矩阵的处理与广义  $-\alpha$  方法的完全相同.

### 4 数值算例

图1为Snakeboard的简化模型<sup>[19]</sup>. 其中板的质量为  $m$ , 转动惯量为  $J$ , 转动体的转动惯量是  $J_r$ , 轮子(假设前后轮完全相同)的转动惯量是  $J_w$ , 从板的质心到轮的距离为  $L$ , 加在板的质心的力是  $F$ , 方向平行于板的轴线方向,  $F = (F_x, F_y)$ , 加在轮子和板之间扭簧的刚度为  $k_w$ , 转动体和板之间扭簧的刚度为  $k_r$ , 其动力学方程为:

$$\begin{bmatrix} m & 0 & 0 & 0 & 0 & 0 \\ 0 & m & 0 & 0 & 0 & 0 \\ 0 & 0 & J + J_r + 2J_w & J_r & J_w & J_w \\ 0 & 0 & J_r & J_r & 0 & 0 \\ 0 & 0 & J_w & 0 & J_w & 0 \\ 0 & 0 & J_w & 0 & 0 & J_w \end{bmatrix} \begin{pmatrix} \ddot{x} \\ \ddot{y} \\ \ddot{\theta} \\ \ddot{\varphi} \\ \ddot{\phi}_b \\ \ddot{\phi}_f \end{pmatrix} + \begin{pmatrix} F \cos \theta \\ F \sin \theta \\ 0 \\ -k_r \varphi \\ -k_w \phi_b \\ -k_w \phi_f \end{pmatrix}$$

$$\begin{bmatrix} -\sin(\phi_b + \theta) & -\sin(\phi_f + \theta) \\ \cos(\phi_b + \theta) & \cos(\phi_f + \theta) \\ L \cos \phi_b & L \cos \phi_f \\ 0 & 0 \\ 0 & 0 \\ 0 & 0 \end{bmatrix} \begin{pmatrix} \lambda_1 \\ \lambda_2 \end{pmatrix} = \begin{pmatrix} F \cos \theta \\ F \sin \theta \\ 0 \\ -k_r \varphi \\ -k_w \phi_b \\ -k_w \phi_f \end{pmatrix}$$

非完整约束的约束方程为:

$$-\sin(\phi_b + \theta) \dot{x} + \cos(\phi_b + \theta) \dot{y} - L \cos \phi_b \dot{\theta} = 0$$

$$-\sin(\phi_f + \theta) \dot{x} + \cos(\phi_f + \theta) \dot{y} - L \cos \phi_f \dot{\theta} = 0$$

模型参数分别为  $m = 6\text{kg}$ ,  $J = 0.016\text{kg} \cdot \text{m}^2$ ,  $J_r = 0.072\text{kg} \cdot \text{m}^2$ ,  $J_w = 0.0013\text{kg} \cdot \text{m}^2$ ,  $L = 0.2\text{m}$ ,  $F = 20\text{N}$ ,  $k_r = 1\text{N} \cdot \text{m}/\text{rad}$ ,  $k_w = 0.1\text{N} \cdot \text{m}/\text{rad}$ ,

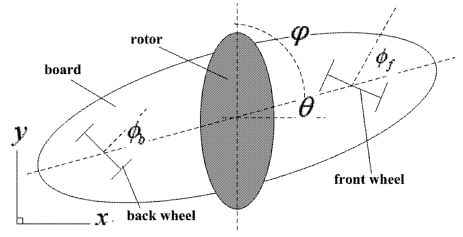


图1 Snakeboard 简化模型

Fig. 1 The simplified model of the Snakeboard

系统初始值为  $x = y = \theta = \phi_b = 0, \psi = 0.2\text{rad}, \phi_f = \pi/3\text{rad}$ . 取  $\rho_\infty = 3/7$ , 则  $\alpha_m = -0.1, \alpha_f = 0.3, \alpha = -0.4, \beta = 0.49, \gamma = 0.9$ , 分别采用广义  $-\alpha$  方法和  $\alpha$ -RATTLE 方法求解此方程, 并与经典的 DAEs 数值求解算法包 DASSL 的结果进行比较. DASSL 算法包只能求解指标  $-1$  的 DAEs 和(刚性) ODEs, 本文采用哑导<sup>[14]</sup>的方法将 DAEs 的指标从  $2$  降为  $1$ , 然后用 DASSL 算法包求解.

Snakeboard 模型板的质心处横坐标  $x, y$  和轴线与  $x$  轴夹角  $\theta$  随时间变化的曲线分别如图2、图3和图4所示.

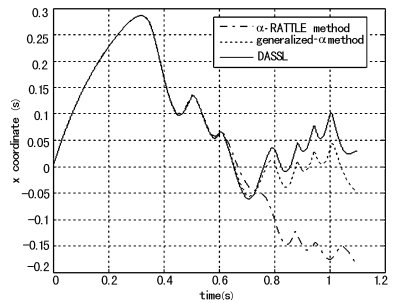


图2 坐标  $x$  随时间变化曲线

Fig. 2 The evolution of coordinate  $x$

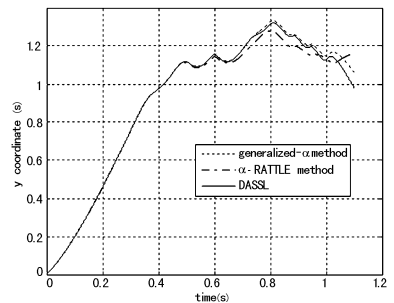


图3 坐标  $y$  随时间变化曲线

Fig. 3 The evolution of coordinate  $y$

数值仿真结果表明, 广义  $-\alpha$  方法的求解结果与 DASSL 算法包求解的结果非常接近,  $\alpha$ -RATTLE 方法在仿真初期与 DASSL 算法包的结果以及广义  $-\alpha$  的结果几乎重合, 但随着时间的推移, 仿真结

果相差较大.

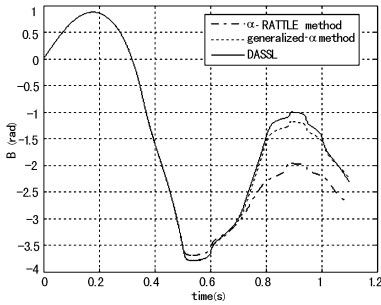


图4  $\theta$  随时间变化曲线

Fig. 4 The evolution of  $\theta$

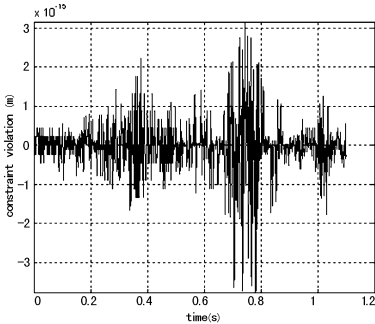


图5 广义- $\alpha$ 方法的违约曲线

Fig. 5 The drift-off curve of generalized- $\alpha$

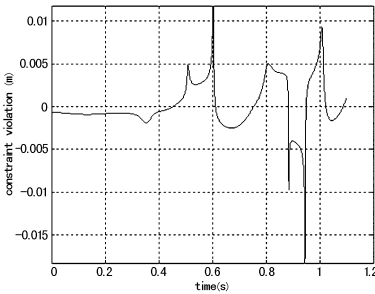


图6  $\alpha$ -RATTLE方法的违约曲线

Fig. 6 The drift-off curve of  $\alpha$ -RATTLE

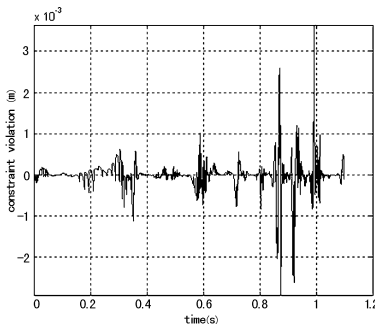


图7 DASSL算法包求解得到的违约曲线

Fig. 7 The drift-off curve of DASSL solver

约束方程的违约<sup>[5]</sup>现象在数值求解 DAEs 过程中普遍存在,以第一个非完整约束的约束方程为例,图5、图6和图7分别给出广义- $\alpha$ 方法、 $\alpha$ -RATTLE方法和经典 DASSL 算法包求解得到的违约曲线。

结果表明,广义- $\alpha$ 方法方法的违约量最小,数量级是  $10^{-15}$ ,  $\alpha$ -RATTLE 法违约量的数量级是  $10^{-2}$ ,哑导方法降为指标 -1 后,采用 DASSL 算法包求解违约量的数量级是  $10^{-3}$ 。

## 5 总结

首先将广义- $\alpha$ 法应用到非完整力学系统的动力学方程的数值积分中,直接求解指标-2的 DAEs,其次,参考 HHT- $\alpha$ 方法在非完整力学系统数值积分中的应用,将  $\alpha$ -RATTLE 法应用到非完整力学系统,求解指标-2的 DAEs,同时广义- $\alpha$ 法和  $\alpha$ -RATTLE 方法所求解的非完整力学系统动力学方程的质量矩阵可以是常量,也可以与广义坐标相关.最后通过算例,将  $\alpha$ 方法的结果与经典的 DAEs 数值求解算法包 DASSL 的结果进行了比较。

$\alpha$ 方法中的  $\alpha \in [-1, 0]$ ,改变  $\alpha$ 的大小可以控制数值耗散的大小.因此,从能量角度研究  $\alpha$ 方法在约束力学系统中的应用将是本文后继的工作。

## 参 考 文 献

- 1 梅凤翔,刘端,罗勇.高等分析力学.北京:北京理工大学出版社,1991(Mei F X, Liu D, Luo Y, Advanced Analytical Mechanics. Beijing: Beijing Institute of Technology Press, 1991 (in Chinese))
- 2 赵跃宇,金波,许文喜.关于非完整系统虚位移的不确定性问题与非线性问题.动力学与控制学报,2003,1(2): 20~24(Zhao Y Y, Jin B, Xu W X. On the unqualitative and nonlinear problems of virtual displacement in nonholonomic system. *Journal of Dynamics and Control*, 2003, 1(1): 20~24 (in Chinese))
- 3 D F Evensberget. Numerical simulation of nonholonomic dynamics. Master thesis of Norwegian University of Science and Technology, 2006
- 4 P J Rabier, W C Rheinboldt. Non-holonomic motion of rigid mechanical systems from a DAE viewpoint. Philadelphia: Society for Industrial and Applied Mathematics, 2000
- 5 K B Brenan, S L Campbell, L R Petzold. Numerical Solution of initial-value problems in differential algebraic equations (2nd ed). SIAM, 1996
- 6 潘振宽,赵维加,洪嘉振等.多体系统动力学微分/代数方程组数值方法.力学进展,1996,26(1): 28~40(Pan Z K, Zhao W J, Hong J Z, et al. On numerical algorithms for differential/algebraic equations of motion of multibody sys-

- tems. *Advances in Mechanics*, 1996, 26 (1) : 28 ~ 40 ( in Chinese )
- 7 洪嘉振. 计算多体系统动力学. 北京: 高等教育出版社, 1999 ( Hong J Z. Computational dynamics of multibody systems. Beijing: China Higher Education Press, 1999 ( in Chinese ) )
- 8 N Newmark. A method of computation for structural dynamics. *Journal of the Engineering Mechanics Division, ASCE*, 1959: 67 ~ 94
- 9 T J R Hughes. The finite element method: Linear Static and Dynamic Finite Element Analysis. Prentice-Hall, 1987
- 10 Fung Tat Ching. Numerical dissipation in time-step integration algorithms for structural dynamic analysis. *Progress in Structural Engineering and Materials*, 2003, ( 5 ) : 167 ~ 180
- 11 A Cardona, M Geradin. Time integration of the equations of motion in mechanism analysis. *Computers & Structures*, 1989, 33(3) : 801 ~ 820
- 12 C Lunk, B Simeon. Solving constrained mechanical systems by the family of Newmark and alpha-methods. *Zeitschrift für Angewandte Mathematik und Mechanik*, 2006, 86(10) : 772 ~ 784
- 13 L O Jay, D Negrut. Extensions of the HHT-alpha method to differential-algebraic equations in mechanics. *Electronic Transactions on Numerical Analysis*, 2007, 26: 190 ~ 208
- 14 S E Mattsson, G Söderlind. Index reduction in differential-algebraic equations using dummy derivatives. *SIAM Journal on Scientific Computing*, 1993, 14(3) : 677 ~ 692
- 15 金波, 赵跃宇, 周海兵. 本质线性非完整系统的 Hamilton 的原理. *动力学与控制学报*, 2004, 2(1) : 32 ~ 36 ( Jin B, Zhao Y Y, Zhou H B. Hamilton principle of intrinsic linear nonholonomic system. *Journal of Dynamics and Control*, 2004, 2(1) : 32 ~ 36 ( in Chinese ) )
- 16 J Chung, G M Hulbert. A time integration algorithm for structural dynamics with improved numerical dissipation: the generalized- $\alpha$  method. *ASME Journal of Applied Mechanics*, 1993, 60: 371 ~ 375
- 17 C L Bottasso, D Dopico, L Trainelli. On the optimal scaling of index three DAEs in multibody dynamics. *Multibody System Dynamics*, 2007, 19(1-2) : 3 ~ 20
- 18 D Negrut, R Rampalli, G Ottarsson, et al. On an Implementation of the Hilber-Hughes-Taylor Method in the Context of Index 3 Differential-Algebraic Equations of Multibody Dynamics. *Journal of Computational and Nonlinear Dynamics*, 2007, 2: 73 ~ 85
- 19 A Lewis, J Ostrowski, R Murray, et al. Nonholonomic mechanics and locomotion: The snakeboard example. *IEEE International Conference on Robotics and Automation*, 1994: 2391 ~ 2397

## NUMERICAL INTEGRATION OF NONHOLONOMIC CONSTRAINED MECHANICAL SYSTEMS BY $\alpha$ METHODS \*

Ma Xiuteng    Chen Liping    Zhang Yunqing

( Center for Computer-Aided Design, Huazhong University of Science & Technology, Wuhan 430074, China )

**Abstract** The generalized- $\alpha$  method and  $\alpha$ -RATTLE method were used in the numerical integration of nonholonomic constrained mechanical systems, i. e. numerical solution of index-2 DAEs directly. During the integration, these two  $\alpha$ -methods can settle the systems that their mass matrices are related with generalized coordinates. Finally, the two methods were verified by a numerical example, the classical nonholonomic constrained mechanical system: Snakeboard. The results were compared with those obtained by the solver DASSL.

**Key words** nonholonomic constraints, differential-algebraic equations (DAEs), generalized- $\alpha$  method,  $\alpha$ -RATTLE method